

I-27 斜交格子析の微分方程式による解法

北見工業大学
北見工業大学正員 菅原 豊
正員 山崎 習之

1. まえがき

筆者らは、主析は曲げ剛性及び捩り剛性をもつて横析は曲げ剛性のみをもつて、かつ主析と横析が剛結されていける構造形式の直角格子析について、主析と横析が共に任意本数の場合に対して、微分方程式による解法を発表したが、本研究ではこれを拡張して、主析と横析が斜交している斜角格子析について解法を試みた。

すなむち、斜交斜角格子析上に集中荷重が作用すれば、不静定力として格点垂直力と格点回転モーメントを誘起するが、この場合には、格点回軸モーメントは、分ベクトルとして主析に曲げモーメントと捩りモーメントを生じさせることになる。また、不静定力を求めるに当たって、格点において主析と横析の継み及び回転角は等しい条件を適用したが、主析の回転角は、捩り角の分ベクトルの他に継み角の分ベクトルを加味することになる。

2. 单純析の撓み式及び捩り角式

一般的な場合として、図-1のように、スパンし、曲げ剛性 EI 、捩り剛性 GI_T 、載荷点 t 、着目点 s の单純析において、集中荷重 P 、曲げモーメント M 、捩りモーメント T が、それが単純に作用したときの撓み式及び捩り角式の基礎微分方程式は、 δ 関数を用いて次のように与えられる。

$$EI \frac{d^4 w(s)}{ds^4} = \delta(s-t)P \quad (1)$$

$$EI \frac{d^4 w(s)}{ds^4} = \lim_{\alpha \rightarrow 0} \{-\delta(s-t)M_1 + \delta(s-t-\alpha)M_2\} \quad (2)$$

$$GI_T \frac{d^2 \theta(s)}{ds^2} = -\delta(s-t)T \quad (3)$$

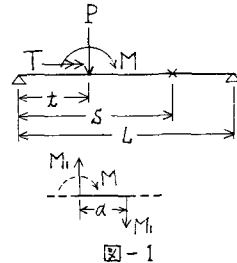


図-1

ここで、それらの式について、両辺を δ プラス変換及び逆ラプラス変換した式に、境界条件として、式(1)と式(2)については、両端支承における撓み及び曲げモーメントは0の条件 $w(0)=w(L)=w''(0)=w''(L)=0$ 、また、式(3)については、両端支承における捩り角は0の条件 $\theta(0)=\theta(L)=0$ を適用すれば、撓み式及び捩り角式が得られる。これらを式(a), 式(b), 式(c)のよう箇記で表すこととする。

なお、式(2)における M_1 は、曲げモーメント M を偶力 M_1 へ置き換えたものである。

$$PK \text{による撓み式} \quad W(s) = \left[\frac{(L-t)s}{bEI} \left\{ -s^2 + L^2 - (L-t)^2 \right\} + \frac{1}{bEI} \left\langle (s-t) \frac{3}{4} L^4 \right\rangle \right] \quad P = \bar{W}(s, t)P \quad (4)$$

$$MK \text{による撓み式} \quad W(s) = \left[\frac{s}{bEI} \left\{ s^2 - L^2 + (L-t)^2 \right\} - \frac{1}{2EI} \left\langle (s-t) \frac{3}{4} L^4 \right\rangle \right] \quad M = H(s, t)M \quad (5)$$

$$T \text{による捩り角式} \quad \theta(s) = \left[\frac{(L-t)s}{GI_T L} - \frac{1}{GI_T} \left\langle s-t \right\rangle \right] \quad T = \bar{\theta}(s, t)T \quad (6)$$

3. 斜交格子析の撓み式及び捩り角式

曲げ剛性及び捩り剛性を有する主析 m 本、曲げ剛性のみを有する横析 n 本による斜交斜角格子析において、主析と横析が剛結されている場合には、これは内的に $2n(m-1)$ 次の不静定構造である。解析に当たって、基本

系として中主軸を解放し、かつ縦主軸と横軸の連結をヒンジと同じものを連がんことすれば、これらは英式船型構造である。

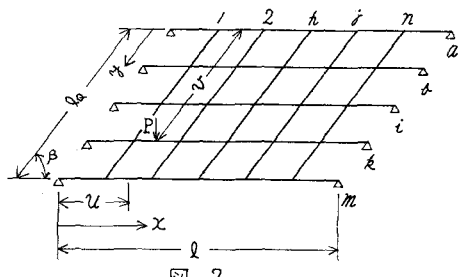


图-2

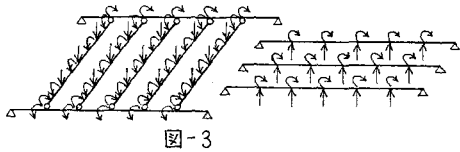
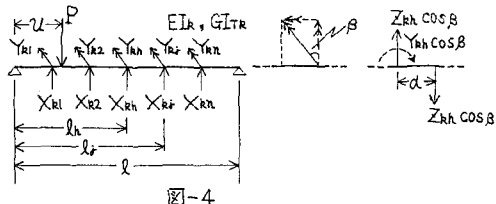
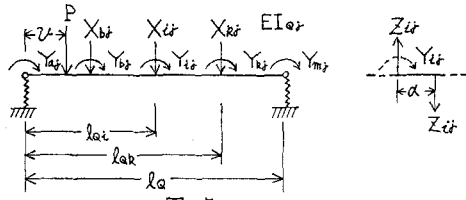


圖 - 3



4



四

図-2のよう斜交斜角格子桁の仕事点上に、集中荷重Pが作用すれば、図-3のように不静定力として、格点垂直力Xと格点回転モーメントYが誘発される。この状態でさらに横主桁を解放すれば、主桁は両端剛支承の单纯桁へ、また、横桁は両端強度支承の単純桁へ置換できる。

したがって、主軸の機羽の基礎微分方程式は、 $P_i, X_{ih}, Y_{ih} \cos\beta$ の作用する式(7)によって、また、主軸の振り角の基礎微分方程式は、 $Y_{ih} \sin\beta$ の作用する式(8)によって与えられる。同様にして、横軸の機羽の基礎微分方程式は、 P_i, X_{ij}, Y_{ij} の作用する式(9)によって与えられる。

$$EI \frac{d^4 W_h(x)}{dx^4} = \delta(x - l_h)P - \sum_{k=1}^n \delta(x - l_k)X_{kh} + \lim_{\alpha \rightarrow 0} \sum_{k=1}^n \left\{ -\delta(x - l_k)Z_{kh} + \delta(x - l_k - \alpha)Z'_{kh} \right\} \cos \beta \quad (7)$$

$$G_{I_{hk}} \frac{d^2 \phi_k(x)}{dx^2} = \sum_{l=1}^n \delta(x - l_h) Y_{lk} \sin \beta \quad (8)$$

$$E_{\bar{X}_{ij}} \frac{d^k W_{ij}(y)}{dy^k} = \delta(y-v) P + \sum_{i=0}^{m-1} \delta(y-l_{ai}) X_{ij} + \lim_{\alpha \rightarrow 0} \sum_{i=0}^m \left\{ -\delta(y-l_{ai}) Z_{ij} + \delta(y-l_{ai}-\alpha) Z_{ij} \right\} \quad (9)$$

ここで、式(7)及び式(8)については、式(1)及び式(3)の場合と同様に、両端支承における境界条件を適用して、揉み式及び猿の角式が導かれれる。式(9)については、横軸両端支承の揉みは板主筋の揉みに等しく、また、曲がモーメントは0の境界条件、すなわち、 $W_{ij}(0)=W_{ij}(l_j)$ 、 $W_{ij}'(l_i)=W_{ij}'(l_j)$ 、 $W_{ij}''(0)=W_{ij}''(l_j)=0$ を適用して揉み式が導かれれる。

後述、 X_{ref} 及び Y_{ref} などにおいて、オ1サフィックスは主断番号、オ2サフィックスは横断番号である。そして I_{ref} 及び III_{ref} のように、横断に関するものにはQをつけて区別した。

また、式(7)及び式(9)におけるとは、図-4及び図-5に示すようだ、曲げモーメントを構造に運び換えるものである。

次に、主桁の横内式及び振り角式と横析の横内式を、Pの載荷点によって分類し、それによつて求めた単純桁の横内式及び振り角式を用いれば、式(4)、式(8)、式(9)より導かれる斜交斜角格子桁の横内式及び振り角式は、その結果を整理すれば次のようになる。

(1) 主析者の読み式

$$P \text{ 为主渐化线截面} \quad W_k(x) = -\sum_{l=1}^m T_k(x, l_k) X_{klk} + \sum_{l=1}^n H_k(x, l_k) Y_{klk} \cos \beta + T_k(x, u) P \quad (10)$$

$$P \text{が主軸} l \text{以外に載荷} \quad W_k(x) = -\sum_{h=1}^n W_h(x, l_h) X_{kh} + \sum_{h=1}^n H_h(x, l_h) Y_{kh} \cos \beta \quad (11)$$

(2) 主軸をの振り角式

$$P \text{が柱底の軸} l \text{に載荷} \quad \theta(x) = -\sum_{h=1}^n \theta_h(x, l_h) Y_{kh} \sin \beta \quad (12)$$

(3) 横断子の振り式

$$P \text{が主軸} l \text{に載荷} \quad W_{ij}(y) = (1 - \frac{y}{l}) \left[-\sum_{h=1}^n W_h(l_j, l_h) X_{kh} + \sum_{h=1}^n H_h(l_j, l_h) Y_{kh} \cos \beta \right] + \frac{y}{l} \left[-\sum_{h=1}^n W_h(l_j, l_h) X_{mh} \right. \\ \left. + \sum_{h=1}^n H_h(l_j, l_h) Y_{mh} \cos \beta \right] + \sum_{i=a}^{m-1} W_{ij}(y, l_{ai}) X_{ij} + \sum_{i=a}^m H_{ij}(y, l_{ai}) Y_{ij} + (1 - \frac{y}{l}) W_a(l_j, u) P \quad (13)$$

$$P \text{が主軸} m \text{に載荷} \quad W_{aj}(y) = (1 - \frac{y}{l}) \left[-\sum_{h=1}^n W_h(l_j, l_h) X_{kh} + \sum_{h=1}^n H_h(l_j, l_h) Y_{kh} \cos \beta \right] + \frac{y}{l} \left[-\sum_{h=1}^n W_h(l_j, l_h) X_{mh} \right. \\ \left. + \sum_{h=1}^n H_h(l_j, l_h) Y_{mh} \cos \beta \right] + \sum_{i=a}^{m-1} W_{aj}(y, l_{ai}) X_{ij} + \sum_{i=a}^m H_{aj}(y, l_{ai}) Y_{ij} + \frac{y}{l} W_m(l_j, u) P \quad (14)$$

$$P \text{が主軸} u \text{に載荷} \quad W_{uj}(y) = (1 - \frac{y}{l}) \left[-\sum_{h=1}^n W_h(l_j, l_h) X_{kh} + \sum_{h=1}^n H_h(l_j, l_h) Y_{kh} \cos \beta \right] + \frac{y}{l} \left[-\sum_{h=1}^n W_h(l_j, l_h) X_{mh} \right. \\ \left. + \sum_{h=1}^n H_h(l_j, l_h) Y_{mh} \cos \beta \right] + \sum_{i=a}^{m-1} W_{uj}(y, l_{ai}) X_{ij} + \sum_{i=a}^m H_{uj}(y, l_{ai}) Y_{ij} + W_{aj}(y, v) P \quad (15)$$

$$P \text{が横断子以外の軸} l \text{及び主軸} l \text{に載荷} \quad W_{kj}(y) = (1 - \frac{y}{l}) \left[-\sum_{h=1}^n W_h(l_j, l_h) X_{kh} + \sum_{h=1}^n H_h(l_j, l_h) Y_{kh} \cos \beta \right] + \frac{y}{l} \left[-\sum_{h=1}^n W_h(l_j, l_h) X_{mh} \right. \\ \left. + \sum_{h=1}^n H_h(l_j, l_h) Y_{mh} \cos \beta \right] + \sum_{i=a}^{m-1} W_{kj}(y, l_{ai}) X_{ij} + \sum_{i=a}^m H_{kj}(y, l_{ai}) Y_{ij} \quad (16)$$

このようにして、振り式及び振り角式が求められれば、これらの式を微分することにより、断面力としての曲げモーメント、せん断力、振りモーメントなどの式が容易に導かれる。一方として、曲げモーメント式及び振りモーメント式を求めねば次のようになる。

(1) 主軸をの曲げモーメント式

$$P \text{が主軸} l \text{に載荷} \quad M_l(x) = \sum_{h=1}^n \left\{ -\frac{(l-l_h)x}{l} + \langle x - l_h \rangle \right\} X_{kh} - \sum_{h=1}^n \left\{ \frac{x}{l} - \langle 1 \rangle \right\} Y_{kh} \cos \beta - \left\{ -\frac{(l-v)x}{l} + \langle x - u \rangle \right\} P \quad (17)$$

$$P \text{が主軸} l \text{以外に載荷} \quad M_l(x) = \sum_{h=1}^n \left\{ -\frac{(l-l_h)x}{l} + \langle x - l_h \rangle \right\} X_{kh} - \sum_{h=1}^n \left\{ \frac{x}{l} - \langle 1 \rangle \right\} Y_{kh} \cos \beta \quad (18)$$

(2) 主軸をの振りモーメント式

$$P \text{が柱底の軸} l \text{に載荷} \quad M_l(x) = \sum_{h=1}^n \left\{ \frac{(l-l_h)}{l} - \langle 1 \rangle \right\} Y_{kh} \sin \beta \quad (19)$$

(3) 横断子の曲げモーメント式

$$P \text{が横断子} l \text{に載荷} \quad M_{ij}(y) = -\sum_{i=a}^{m-1} \left\{ -\frac{(l-a-i)y}{l} + \langle y - l_{ai} \rangle \right\} X_{ij} - \sum_{i=a}^m \left\{ \frac{y}{l} - \langle 1 \rangle \right\} Y_{ij} - \left\{ -\frac{(l-v)y}{l} + \langle y - v \rangle \right\} P \quad (20)$$

$$P \text{が横断子} l \text{以外に載荷} \quad M_{ij}(y) = -\sum_{i=a}^{m-1} \left\{ -\frac{(l-a-i)y}{l} + \langle y - l_{ai} \rangle \right\} X_{ij} - \sum_{i=a}^m \left\{ \frac{y}{l} - \langle 1 \rangle \right\} Y_{ij} \quad (21)$$

ここで、Pが横断子に載荷したときの横断子の曲げモーメント式は、振り式の場合と違って、P自身の直角の影響を受けないから、式(13), 式(14), 式(16)を微分した式は、同一の式(21)となることがわかる。

4. 不静定力の計算

さきに求めた挑み式及び挿り角式には、未知量である不静定力が含まれている。光る、横筋上に作用する橋点垂直力 X_{ih} と橋点回転モーメント Y_{ih} による横筋の端における反力、すなはち、縦主筋上垂直反力 X_{mh} 及び X_{mh} は、横筋の端において $\sum M = 0$ の釣合条件を適用して求め、P の載荷点によって次のように分類する。

(1) P が横筋上に載荷

$$X_{ih} = -\sum_{i=a}^m \frac{l_{ai}}{l_a} X_{ih} + \sum_{i=a}^m \frac{Y_{ih}}{l_a} - \frac{l_a - l_i}{l_a} P, \quad X_{mh} = -\sum_{i=b}^m \frac{l_{bi}}{l_b} X_{ih} - \sum_{i=a}^m \frac{Y_{ih}}{l_a} - \frac{l_a}{l_a} P \quad (22)$$

(2) P が横筋以外に載荷

$$X_{ih} = -\sum_{i=b}^m \frac{l_{bi}}{l_b} X_{ih} + \sum_{i=a}^m \frac{Y_{ih}}{l_a} \quad ; \quad X_{mh} = -\sum_{i=b}^m \frac{l_{bi}}{l_b} X_{ih} - \sum_{i=a}^m \frac{Y_{ih}}{l_a} \quad (23)$$

次に、中主筋と横筋との接点において、主筋の挑みと横筋の挑みは等しく、また、縦主筋と横筋との接点を含むすべての接点において、主筋の回転角と横筋の回転角は等しい、合わせて $2n(m-1)$ 個の条件式から、これを式(24)のよう表す。

なお、この場合、主筋と横筋は斜交しているので、主筋の回転角には、挿り角のベクトル $\theta(x) \sin \beta$ の他に、横筋の回転角のベクトル $W_k'(x) \cos \beta$ が加わることになる。

$$\begin{bmatrix} A_{k_1 i_1} & B_{k_1 i_2} \\ C_{k_2 i_1} & D_{k_2 i_2} \end{bmatrix} \begin{bmatrix} X_{i_1} \\ Y_{i_2} \end{bmatrix} = P \begin{bmatrix} E_{k_1} \\ F_{k_2} \end{bmatrix} \quad \begin{array}{l} \text{ただし, } k \leq k_1 \leq m-1, \quad k \leq i_1 \leq m-1 \\ a \leq k_2 \leq m, \quad a \leq i_2 \leq m \\ 1 \leq j \leq n, \quad 1 \leq h \leq n \end{array} \quad (24)$$

ここで、

$$A_{k_1 i_1} = [A_{k_1}] \quad [A] = [(1 - \frac{l_{ai}}{l_a}) W_a(l_i, l_a) + \frac{l_{ai}}{l_a} W_m(l_j, l_a)]$$

$$\begin{array}{ll} \begin{cases} j=k \text{ のとき} \\ j \neq k \text{ のとき} \end{cases} & A_{k_1} = [A] + W_{k_1}(l_j, l_a) + W_{k_1}(l_{ai}, l_{aj}) \end{array}$$

$$\begin{array}{ll} \begin{cases} j=k \text{ のとき} \\ j \neq k \text{ のとき} \end{cases} & A_{k_1} = [A] + W_{k_1}(l_j, l_a) \end{array}$$

$$\begin{array}{ll} \begin{cases} j=k \text{ のとき} \\ j \neq k \text{ のとき} \end{cases} & A_{k_1} = [A] + W_{k_1}(l_{ai}, l_{aj}) \end{array}$$

$$\begin{array}{ll} \begin{cases} j=k \text{ のとき} \\ j \neq k \text{ のとき} \end{cases} & A_{k_1} = [A] \end{array}$$

$$B_{k_1 i_2} = [B_{k_1}] \quad [b] = [-\frac{l_{ai}}{l_a} (1 - \frac{l_{ai}}{l_a}) W_a(l_i, l_a) + \frac{l_{ai}}{l_a} W_m(l_j, l_a)]$$

$$\begin{array}{ll} \begin{cases} j=k \text{ のとき} \\ j \neq k \text{ のとき} \end{cases} & b_{k_1} = [b] + (1 - \frac{l_{ai}}{l_a}) H_a(l_j, l_a) \cos \beta + H_{k_1}(l_{ai}, l_{aj}) \end{array}$$

$$\begin{array}{ll} \begin{cases} j=k \text{ のとき} \\ j \neq k \text{ のとき} \end{cases} & b_{k_1} = [b] + (1 - \frac{l_{ai}}{l_a}) H_a(l_j, l_a) \cos \beta \end{array}$$

$$\begin{array}{ll} \begin{cases} j=k \text{ のとき} \\ j \neq k \text{ のとき} \end{cases} & b_{k_1} = [b] - H_{k_1}(l_j, l_a) \cos \beta + H_{k_1}(l_{ai}, l_{aj}) \end{array}$$

$$\begin{array}{ll} \begin{cases} j=k \text{ のとき} \\ j \neq k \text{ のとき} \end{cases} & b_{k_1} = [b] - H_{k_1}(l_j, l_a) \cos \beta \end{array}$$

$$\begin{array}{ll} \begin{cases} j=k \text{ のとき} \\ j \neq k \text{ のとき} \end{cases} & b_{k_1} = [b] + H_{k_1}(l_{ai}, l_{aj}) \end{array}$$

$$\begin{array}{ll} \begin{cases} j=k \text{ のとき} \\ j \neq k \text{ のとき} \end{cases} & b_{k_1} = [b] + (l_{ai}/l_a) H_m(l_i, l_a) \cos \beta + H_{k_1}(l_{ai}, l_{aj}) \end{array}$$

$$\begin{array}{ll} \begin{cases} j=k \text{ のとき} \\ j \neq k \text{ のとき} \end{cases} & b_{k_1} = [b] + (l_{ai}/l_a) H_m(l_i, l_a) \cos \beta \end{array}$$

$$C_{k_2 i_1} = [C_{k_2}] \quad [c] = [-\frac{l_{ai}}{l_a} (1 - \frac{l_{ai}}{l_a}) W_a(l_i, l_a) + \frac{l_{ai}}{l_a} W_m(l_j, l_a)]$$

$$\begin{array}{ll} \begin{cases} j=k \text{ のとき} \\ j \neq k \text{ のとき} \end{cases} & c_{k_2} = [c] + (1 - \frac{l_{ai}}{l_a}) W_a(l_j, l_a) \cos \beta + W_{k_2}'(l_{ai}, l_{aj}) \end{array}$$

$$\begin{array}{ll} \begin{cases} j=k \text{ のとき} \\ j \neq k \text{ のとき} \end{cases} & c_{k_2} = [c] + (1 - \frac{l_{ai}}{l_a}) W_a(l_j, l_a) \cos \beta \end{array}$$

$$\begin{array}{ll} \begin{cases} j=k \text{ のとき} \\ j \neq k \text{ のとき} \end{cases} & c_{k_2} = [c] - W_{k_2}'(l_j, l_a) \cos \beta + W_{k_2}'(l_{ai}, l_{aj}) \end{array}$$

$$\begin{array}{ll} \begin{cases} j=k \text{ のとき} \\ j \neq k \text{ のとき} \end{cases} & c_{k_2} = [c] - W_{k_2}'(l_j, l_a) \cos \beta \end{array}$$

$$\begin{array}{ll} \begin{cases} j=k \text{ のとき} \\ j \neq k \text{ のとき} \end{cases} & c_{k_2} = [c] + W_{k_2}'(l_{ai}, l_{aj}) \end{array}$$

$$\begin{array}{ll} \begin{cases} j=k \text{ のとき} \\ j \neq k \text{ のとき} \end{cases} & c_{k_2} = [c] \end{array}$$

$$\begin{array}{ll} \begin{cases} j=k \text{ のとき} \\ j \neq k \text{ のとき} \end{cases} & c_{k_2} = [c] + (l_{ai}/l_a) W_m(l_j, l_a) \cos \beta + W_{k_2}'(l_{ai}, l_{aj}) \end{array}$$

$$\begin{array}{ll} \begin{cases} j=k \text{ のとき} \\ j \neq k \text{ のとき} \end{cases} & c_{k_2} = [c] + (l_{ai}/l_a) W_m(l_j, l_a) \cos \beta \end{array}$$

$$D_{k2i} = [d_{k2i}] \quad [d] = \left[\frac{1}{l_a^2} \{ W_a(l_j, l_k) + W_m(l_j, l_k) \} \right]$$

$\begin{cases} l_a = a & \begin{cases} j = k のとき & d_{k2i} = [d] + \Phi_{k2}(l_j, l_k) \sin^2 B - (1/l_a) H_a(l_j, l_k) \cos B + H'_{k2}(l_{a2}, l_{a2}) + H''_{k2}(l_j, l_k) \cos^2 B \\ j \neq k のとき & d_{k2i} = [d] + \Phi_{k2}(l_j, l_k) \sin^2 B - (1/l_a) H_a(l_j, l_k) \cos B + H'_{k2}(l_j, l_k) \cos^2 B - (1/l_a) \bar{W}'_{k2}(l_j, l_k) \cos B \end{cases} \\ l_a = m & \begin{cases} j = k のとき & d_{k2i} = [d] - (1/l_a) H_a(l_j, l_k) \cos B + H'_{k2}(l_{a2}, l_{a2}) \\ j \neq k のとき & d_{k2i} = [d] - (1/l_a) H_a(l_j, l_k) \cos B \end{cases} \\ l_a = m & \begin{cases} j = k のとき & d_{k2i} = [d] - (1/l_a) H_a(l_j, l_k) \cos B + H'_{k2}(l_{a2}, l_{a2}) + (1/l_a) \bar{W}'_{k2}(l_j, l_k) \cos B \\ j \neq k のとき & d_{k2i} = [d] - (1/l_a) H_a(l_j, l_k) \cos B + (1/l_a) \bar{W}'_{k2}(l_j, l_k) \cos B \end{cases} \\ l_a = a & \begin{cases} j = k のとき & d_{k2i} = [d] + H'_{k2}(l_{a2}, l_{a2}) - (1/l_a) \bar{W}'_{k2}(l_j, l_k) \cos B \\ j \neq k のとき & d_{k2i} = [d] - (1/l_a) \bar{W}'_{k2}(l_j, l_k) \cos B \end{cases} \\ l_a = m & \begin{cases} j = k のとき & d_{k2i} = [d] + \Phi_{k2}(l_j, l_k) \sin^2 B + H'_{k2}(l_j, l_k) \cos^2 B \\ j \neq k のとき & d_{k2i} = [d] + \Phi_{k2}(l_j, l_k) \sin^2 B + H'_{k2}(l_j, l_k) \cos^2 B \end{cases} \\ l_a = a, m & \begin{cases} j = k のとき & d_{k2i} = [d] + H'_{k2}(l_{a2}, l_{a2}) \\ j \neq k のとき & d_{k2i} = [d] \end{cases} \\ l_a = m & \begin{cases} j = k のとき & d_{k2i} = [d] + H'_{k2}(l_{a2}, l_{a2}) + (1/l_a) \bar{W}'_{k2}(l_j, l_k) \cos B \\ j \neq k のとき & d_{k2i} = [d] + (1/l_a) \bar{W}'_{k2}(l_j, l_k) \cos B \end{cases} \\ l_a = a & \begin{cases} j = k のとき & d_{k2i} = [d] + (1/l_a) H_m(l_j, l_k) \cos B + H'_{k2}(l_{a2}, l_{a2}) - (1/l_a) \bar{W}'_{k2}(l_j, l_k) \cos B \\ j \neq k のとき & d_{k2i} = [d] + (1/l_a) H_m(l_j, l_k) \cos B - (1/l_a) \bar{W}'_{k2}(l_j, l_k) \cos B \end{cases} \\ l_a = m & \begin{cases} j = k のとき & d_{k2i} = [d] + (1/l_a) H_m(l_j, l_k) \cos B + H'_{k2}(l_{a2}, l_{a2}) \\ j \neq k のとき & d_{k2i} = [d] + (1/l_a) H_m(l_j, l_k) \cos B \end{cases} \\ l_a = a, m & \begin{cases} j = k のとき & d_{k2i} = [d] + \Phi_{k2}(l_j, l_k) \sin^2 B + (1/l_a) H_m(l_j, l_k) \cos B + H'_{k2}(l_j, l_k) \cos^2 B + H'_{k2}(l_{a2}, l_{a2}) \\ j \neq k のとき & d_{k2i} = [d] + \Phi_{k2}(l_j, l_k) \sin^2 B + (1/l_a) H_m(l_j, l_k) \cos B + H'_{k2}(l_j, l_k) \cos^2 B + (1/l_a) \bar{W}'_{k2}(l_j, l_k) \cos B \end{cases} \end{cases}$

$$E_{ki} = [\Theta_i] \quad [\Theta] = \left[-(1 - \frac{l_{a2}}{l_a}) \frac{l_a - v}{l_a} W_a(l_j, l_k) - \frac{l_{a2} - v}{l_a^2} W_m(l_j, l_k) \right]$$

P が主桁 a に載荷

$$\Theta_i = -(1 - l_{a2}/l_a) \bar{W}_a(l_j, U)$$

P が主桁 m に載荷

$$\Theta_i = -(l_{a2}/l_a) \bar{W}_m(l_j, U)$$

P が中主桁 i に載荷

$$\Theta_i = \bar{W}_{ai}(l_j, U)$$

P が j に載荷

$$\Theta_i = 0$$

P が横桁 n に載荷

$$\Theta_i = [e] - \bar{W}_{ai}(l_{a2}, V)$$

P が i に載荷

$$\Theta_i = [e]$$

$$F_{k2i} = [f_i] \quad [f] = \left[\frac{l_a - v}{l_a^2} W_a(l_j, l_k) - \frac{v}{l_a^2} W_m(l_j, l_k) \right]$$

P が主桁 a に載荷

$$f_i = (1/l_a) \bar{W}_a(l_j, U) - \bar{W}'_{k2}(l_j, U) \cos B$$

P が $a \neq k$ のとき

$$f_i = (1/l_a) \bar{W}_a(l_j, U)$$

P が主桁 m に載荷

$$f_i = -(1/l_a) \bar{W}_m(l_j, U) - \bar{W}'_{k2}(l_j, U) \cos B$$

P が $k \neq m$ のとき

$$f_i = -(1/l_a) \bar{W}_m(l_j, U)$$

P が中主桁 i に載荷

$$f_i = -\bar{W}'_{k2}(l_j, U) \cos B$$

P が $j \neq i$ のとき

$$f_i = 0$$

P が横桁 n に載荷

$$f_i = [f] - (1 - v/l_a) \bar{W}_a(l_j, l_k) \cos B - \bar{W}'_{k2}(l_{a2}, V)$$

P が j に載荷

$$f_i = [f] - (1 - v/l_a) \bar{W}_a(l_j, l_k) \cos B$$

P が i に載荷

$$f_i = [f] - \bar{W}'_{k2}(l_{a2}, V)$$

P が k に載荷

$$f_i = [f]$$

P が $a = m$ のとき

$$f_i = [f] - (v/l_a) \bar{W}'_{k2}(l_j, l_k) \cos B - \bar{W}'_{k2}(l_{a2}, V)$$

P が $j \neq i$ のとき

$$f_i = [f] - (v/l_a) \bar{W}'_{k2}(l_j, l_k) \cos B$$

P が i のとき

$$f_i = [f] - (v/l_a) \bar{W}'_{k2}(l_j, l_k) \cos B$$

式(24)を解けば不静定力が導かれるから、これらを式(22)及び式(23)に代入して、継主桁上の橋点垂直反力を求める。そして、以上のようにして得た又及びを、それと式(10)から式(1b)に代入すれば、斜交斜角格子桁の境界条件及び接続条件が求まる。

5. 計算例

一例として、主桁及び横桁が直交する本よりなる斜交斜角格子桁について、 $l_1 = 7\text{m}$, $l_2 = 14\text{m}$, $l_3 = 21\text{m}$, $l = 28\text{m}$, $b_{eff} = 3\text{m}$, $b_a = b\text{m}$, $I = 1.619 \times 10^6 \text{cm}^4$, $I_T = 2.429 \times 10^6 \text{cm}^4$, $I_a = I \cdot \frac{l}{l_1} = 1.615 \times 10^5 \text{cm}^4$, $E = 2.1 \times 10^6 \text{kg/cm}^2$, $G = 8.1 \times 10^5 \text{kg/cm}^2$, $\beta = 60^\circ$ であるとき、主桁は 8 分割、横桁は 4 分割にした場合の各点における曲げモーメント及びねじりモーメントの剝離線を示す。これらの一部を図示すれば図-6 から図-9 のようになる。

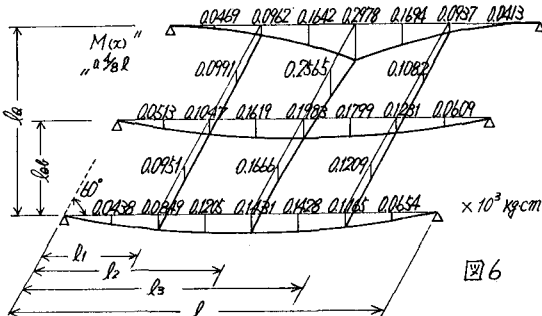


図6

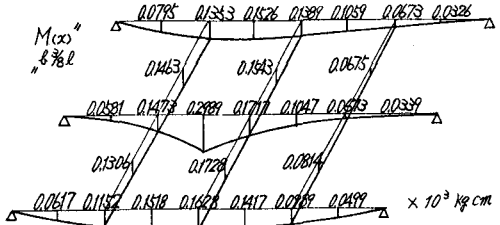


図7

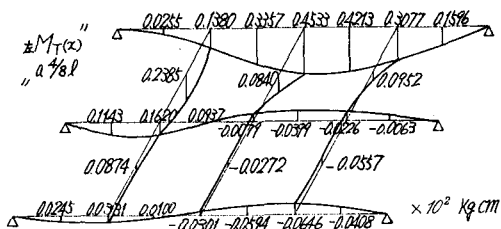


図8

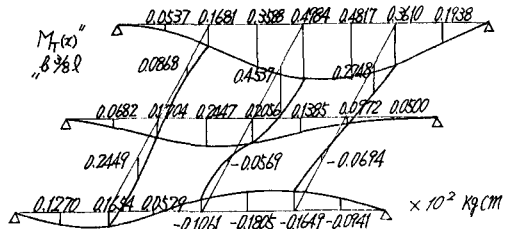


図9

b. あとがき

本研究において、不静定力を求めるために当たっての係数マトリックスの要素は、一見ややこしい複雑ではあるが、主桁と横桁が斜交している場合には、主桁の撓みには、格点回転モーメントの分ベクトルとしてねじりモーメントによる撓みが加算されるし、また、主桁の回転角には、撓み角の分ベクトルが加算されるからである。

しかし、これらの係数マトリックスの要素は、構成的に導かれるし、その上、電子計算機の普及によって現在では、連立方程式の計算は困難なものではない。また、この解法は、変形や断面力などの剝離線を容易に求めることができる。

なお、当然のことではあるが、この解法において斜角度を 90° にすれば、主桁と横桁が直交している場合の普通の諸式が得られる。これらは、別に求めた直角格子桁の諸式と一緒にした。

参考文献

- (1) 渡辺 昇 : 構造力学の理論と計算, 技報堂, 1965
- (2) 藤森, 竹下 : 構造力学, 森北出版, 1965
- (3) 野色 雄吉 : 施用数学, 内田光輝園, 1966
- (4) 逆藤 次郎 : 構造力学, 増風館, 1968
- (5) 善原, 尾中 : 構造力学の一解説, 土木学会業務第 38 号, 1982